### УДК 543.51+547

## ИОННЫЕ СЕРИИ В МАСС-СПЕКТРАХ ТРИФТОРМЕТИЛ-ЗАМЕЩЕННЫХ ГЕТЕРОЦИКЛОВ И ЦИКЛОПРОПАНОВ, НЕ СОДЕРЖАЩИХ РЕГУЛЯРНЫХ ФРАГМЕНТНЫХ ГРУПП

Н.Д. Каграманов\*, А.Л. Сиган, А.С. Голубев

Институт элементоорганических соединений им. А. Н. Несмеянова Российской академии наук, 119991, ГСП-1, Москва, В-334, ул. Вавилова, д. 28

e-mail: ndkagram@gmail.com

**Аннотация**: В масс-спектрах n-алканов, n-перфторалканов, n-карбоновых кислот, их метиловых эфиров, циклоалканов и перфторполициклоалканов, содержащих регулярные фрагментные группы  $(C_2H_4)_n$  или  $(CF_2)_n$ , все параллельно образующиеся серии ионов достаточно просто определяются по реперным отрывам.

В настоящем сообщении представлены серии ионов масс-спектров трифторметилзамещенных соединений, не содержащих регулярных фрагментных групп. Отсутствие регулярных фрагментных групп затрудняет установление цепочек ионных серий, поскольку характерные отрывы (- $C_2H_4$  и - $CF_2$ ) не происходят.

В качестве примеров, представлены ионные серии масс-спектров трех этил-5-арил-5трифторметил-4,5-дигидроизоксазол-3-карбоксилатов, 3-(трифторметил)-2,1двух бензизоксазолов. также одиннадцати *транс*-2-арил-2-трифторметил-1-нитроциклофрагментации производных этил-5-арил-5-трифторметил-4,5-дигидропропанов. При изоксазол-3-карбоксилатов образуются две серии, приводящие к двум стабильным фрагментным ионам PhC<sup>+</sup>=O и PhC<sup>+</sup>=CH<sub>2</sub>. В масс-спектрах производных 3-(трифторметил)-2,1-бензизоксазолов, в зависимости от положения заместителя по отношению к СГ3 группе, регистрируется либо выброс 'СF<sub>3</sub>, либо перегруппировочный отрыв CF<sub>2</sub>. В спектрах *транс*-2арил-2-трифторметил-1-нитроциклопропанов, при синхронном отрыве HNO, 'CF<sub>3</sub> и C<sub>2</sub>H<sub>2</sub>, возникает интенсивный пик перегруппировочного иона Ar-C<sup>+</sup>=O. Другим путем фрагментации производных 2-трифторметил-1-нитроциклопропанов является образование катион-радикала трифторнитрометана  $[CF_3NO_2]^+$  с m/z 115, в результате выброса нейтральных молекул Aryl-C<sub>3</sub>H<sub>3</sub>, в которых сохраняется циклопропен, но без электроноакцепторных заместителей. В масс-спектрах транс-2-арил-2-трифторметил-1нитроциклопропанов, содержащих заместители в пара- или мета- положении фенильной

группы, интенсивности пиков конкурирующих ионных серий меняются в зависимости от *пара-* или *мета-* положения заместителя.

**Ключевые слова**: ионные серии в масс-спектрах, серии ионов без регулярных фрагментных групп, этил-5-арил-5-трифторметил-4,5-дигидроизоксазол-3-карбоксилаты, 3-(трифторметил)-1-бензизоксазолы, *транс*-2-арил-2-трифторметил-1-нитроциклопропаны.

#### Введение

В масс-спектрах соединений, не содержащих регулярных фрагментных групп (C<sub>2</sub>H<sub>4</sub>)<sub>п</sub> или (CF<sub>2</sub>)<sub>п</sub>, установление фрагментационных цепочек ионных серий осложняется отсутствием характерных реперных отрывов [1]. При многовариантности состава отрываемого радикала, он может быть надежно установлен при съемке спектра высокого разрешения. Тем не менее, наличие массива данных по спектрам низкого разрешения для производных с различными изотопными заместителями обычно позволяет сделать обоснованный вывод о составе отрываемых радикалов. Рассмотрение всех вариантов отрыва первичных радикалов, установление ионных серий спектра и согласование их между собой более продуктивно, чем описание интерпретируемого спектра, как единого целого. При ионизации электронами несимметричных молекул, имеющих заместители, процесс фрагментации, как правило, начинается с периферийных функциональных групп заместителей, нарушающих симметрию более стабильного центрального фрагмента.

#### Экспериментальная часть

Масс-спектры производных этил-5-арил-5-трифторметил-4,5-дигидроизоксазол-3-карбоксилатов, 3-(трифторметил)-2,1-бензизоксазолов и *транс*-2-арил-2-трифторметил-1-нитроциклопропанов получены на спектрометре «Finnigan Polaris Q» (ионная ловушка, диапазон 30-700 Да, энергия 70 эВ, метод прямого ввода DIP, температура ионного источника 250°C). С целью оценки возможности термораспада производных *транс*-2-арил-2-трифторметил-1-нитроциклопропанов температуру ионного источника понижали от 250 до 50°C.

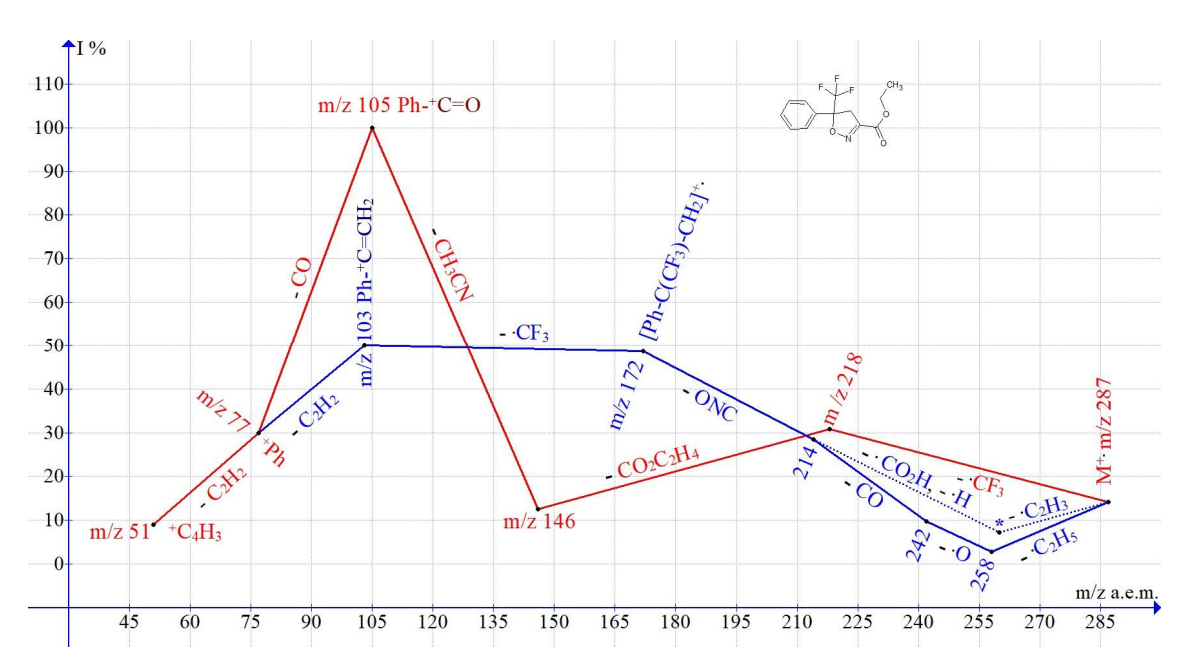
#### Ионные серии этил-5-арил-5-трифторметил-4,5-дигидроизоксазол-3-карбоксилатов

Этил-5-арил-трифторметил-4,5-дигидроизоксазол-3-карбоксилаты обладают свойствами регуляторов роста растений. Сравнение их активности с существующими гербицидами подтверждает перспективность применения их в агрохимии. Новый, удобный метод их синтеза и разделения, элементный анализ, а также ЯМР-спектры и масс-спектры

представлены в работе [2]. На Рис. 1-3 представлены две серии ионов, присутствующих в масс-спектрах трех этил-5-арил-5-трифторметил-4,5-дигидроизоксазол-3-карбоксилатов. Одна из серий, начинающаяся с отрыва радикала 'CF<sub>3</sub>, приводит к базовым пикам  $R-C_6H_4+C=O$ . Другая серия, начинающаяся с отрыва этоксильного радикала концевой этоксикарбонильной группы и завершающаяся отрывом радикала 'CF<sub>3</sub>, приводит к пикам средней интенсивности  $R-C_6H_4+C=CH_2$ .

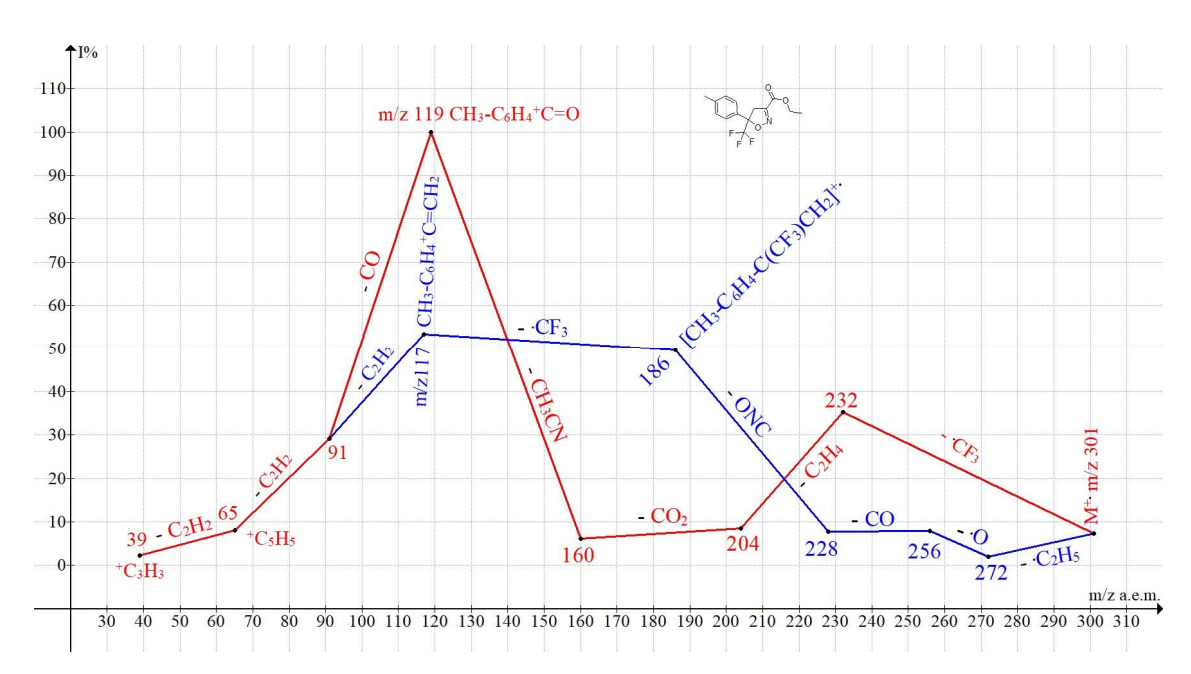
Так, в спектре этил-5-фенил-5-(трифторметил)-4,5-дигидроизооксазол-3-карбоксилата после выброса  ${}^{\circ}$ CF<sub>3</sub> происходит последовательный отрыв молекулы этилена,  ${}^{\circ}$ CO<sub>2</sub> и ацетонитрила CH<sub>3</sub>CN m/z 41 с образованием базового иона оксифенилметилиума Ph- ${}^{+}$ C=O.

В случае отрыва концевой этоксикарбонильной группы происходит выброс радикала  $^{\circ}$ CNO с m/z 42 и отрыв  $^{\circ}$ CF<sub>3</sub> с образованием фенилэтенильного иона  $^{\circ}$ Ph- $^{\circ}$ C=CH<sub>2</sub> m/z 103 (50%).

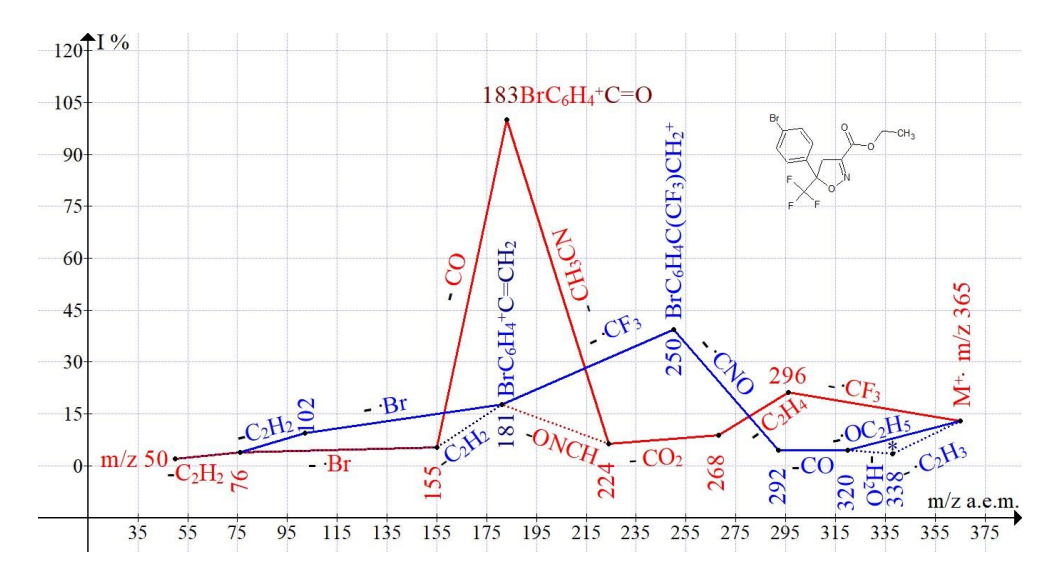


**Рисунок 1.** Серии ионов масс-спектра этил-5-трифторметил-5-фенил-4,5-дигидроизоксазол-3-карбоксилата  $C_{13}H_{12}F_3NO_3MW:287$ .

Сходные ионные серии присутствуют в масс-спектрах этил-5-трифторметил-5-*пара*-толил-4,5-дигидроизоксазол-3-карбоксилата (Рис. 2) и этил-5-(4-бромфенил)-5-трифторметил-4,5-дигидроизоксазол-3-карбоксилата (Рис. 3).



**Рисунок 2.** Серии ионов масс-спектра этил-5-трифторметил-5-пара-толил-4,5-дигидроизоксазол-3-карбоксилата  $C_{14}H_{14}F_{3}NO_{3}MW$ :301.



**Рисунок 3.** Серии ионов масс-спектра этил-5-(4-бромфенил)-5-трифторметил-4,5-дигидроизоксазол-3-карбоксилата  $C_{13}H_{11}BrF_3NO_3MW:365$ .

Одна из серий (Рис. 1-3), начинающаяся с отрывов радикала 'CF<sub>3</sub>, приводит к базовым пикам R-C<sub>6</sub>H<sub>4</sub>- $^+$ C=O. Другая серия, начинающаяся с отрыва этоксильного радикала и завершающаяся отрывом радикала 'CF<sub>3</sub>, приводит к пикам R-C<sub>6</sub>H<sub>4</sub>- $^+$ C=CH<sub>2</sub> средней (Рис. 1-2) и малой интенсивности (Рис. 3).

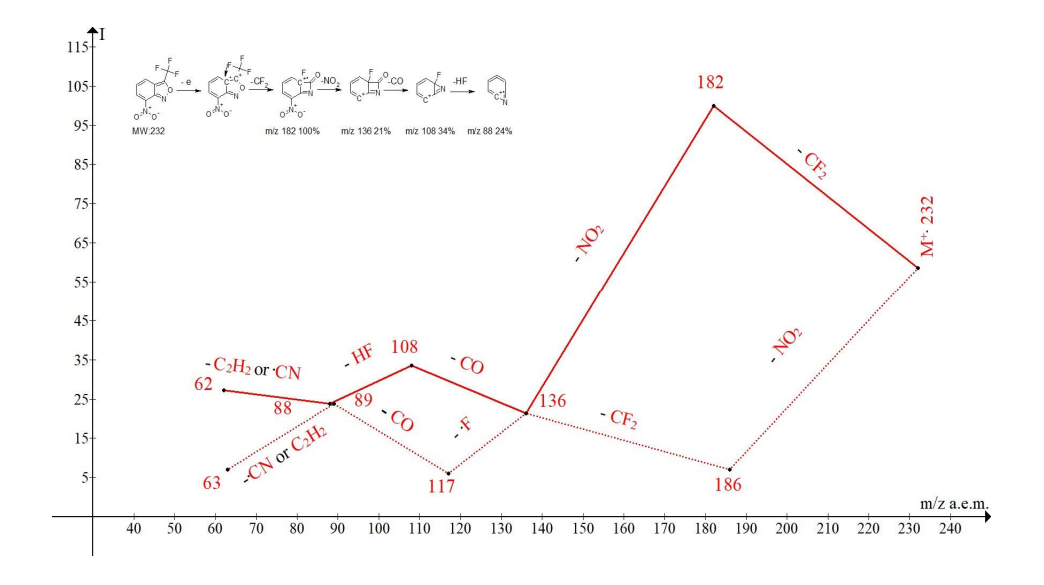
#### Ионные серии 3-(трифторметил)-2,1-бензизоксазолов

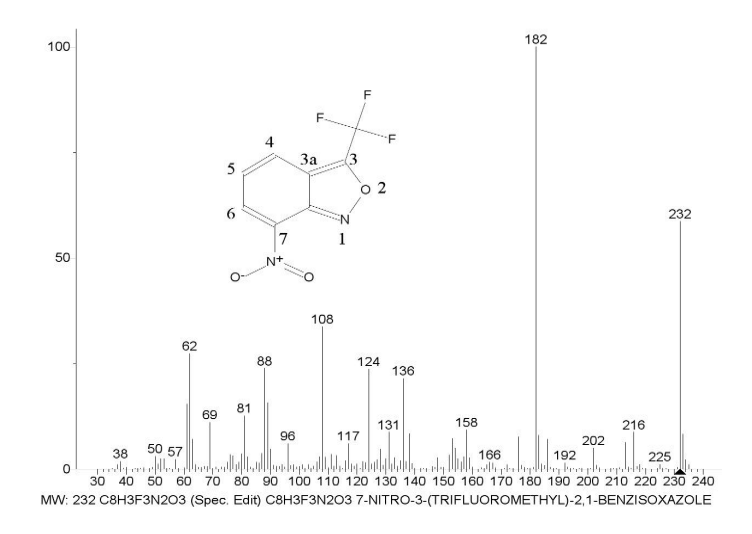
2,1-Бензизоксазолы (антранилы) - важный класс гетероциклических соединений, применяемых в качестве синтонов в органическом синтезе.

Они представляют интерес также для биохимических исследований и фармакологии. В работе [3] предложен новый метод синтеза и впервые получены ранее не известные 3-(трифторметил)- и 3-(дифторметил)-2,1-бензизоксазолы.

В отличие от спектров этил-5-арил-5-трифторметил-4,5-дигидроизоксазол-3-карбоксилатов [2] в спектрах менее разветвленных и более ненасыщенных структур 3-(трифторметил)-2,1-бензизоксазолов, в зависимости от взаимного положения заместителей и СF<sub>3</sub> группы, наблюдается либо отрыв трифторметильной группы либо перегруппировка с миграцией атома фтора и выбросом СF<sub>2</sub>. В масс-спектре 3-(трифторметил)-2,1-бензизоксазола, а также в спектрах его производных: 4-фтор, 5-хлор, 5-бром и 7-нитро привлекает внимание высокая интенсивность пиков (+M-CF<sub>2</sub>) от 66% до 100%, соответствующих отрыву дифторкарбена от трифторметильных групп [3]. Отрывы -F или HF происходят только как вторичные процессы, после выброса CF<sub>2</sub>.

Электроноакцепторная CF<sub>3</sub> группа при двойной связи ослабляет ее. При ионизации молекулы удаляется один из электронов ослабленной двойной связи 3а-3. Координация одного из атомов фтора трифторметильной группы с новым радикальным центром-3а приводит к перегруппировке с образованием новой C-F связи и отрыву CF<sub>2</sub>.

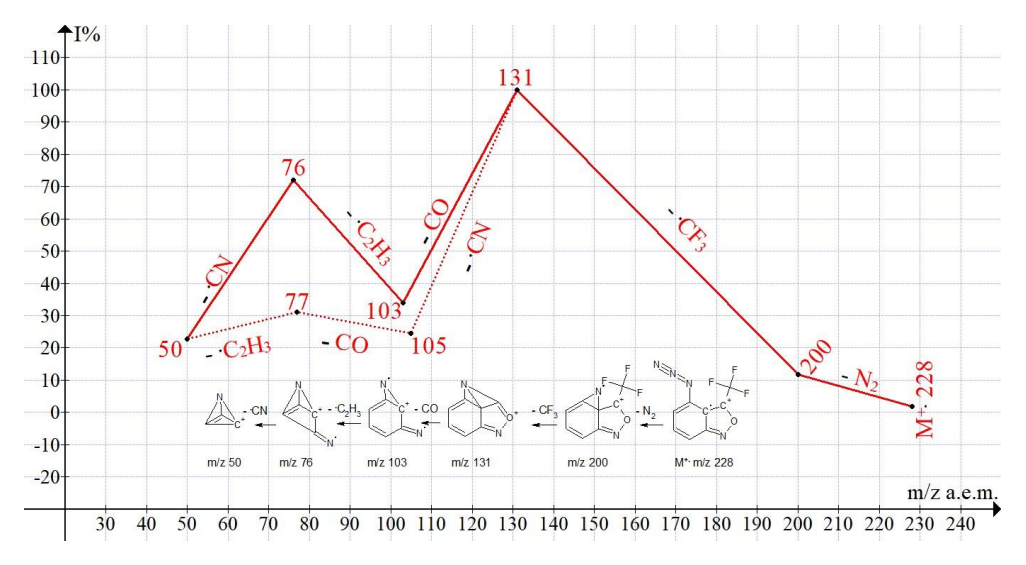




**Рисунок 4.** Масс-спектр 7-нитро-3-(трифторметил)-2,1-бензизоксазола  $C_8H_3F_3N_2O_3$  MW: 232 и две серии его ионов.

Представленные на Рис. 4 две ионных серии масс-спектра различаются только очередностью отрыва радикалов и интенсивностью пиков. В сущности, менее интенсивная серия ионов, отмеченная на Рис. 4 пунктиром, - это зеркальное отражение более интенсивной главной серии.

Напротив, фрагментация 4-замещенных производных: 4-азидо, 4-нитро, и в меньшей мере 4-фтор-3-(трифторметил)-2,1-бензизоксазола начинается с отрыва трифторметильных радикалов. Соотношение интенсивностей пиков, соответствующих отрывам  ${}^{\circ}$ CF $_3$  / CF $_2$  , в спектрах бензизоксазолов с заместителями 4-азидо 100/0, 4-нитро 100/56, и 4-фтор 40/66 % соответственно.



**Рисунок 5.** Серии ионов масс-спектра 4-азидо-3-(трифторметил)-2,1-бензизоксазола  $C_8H_3F_3N_4O\ MW$ : 228.

Азидо-группа в четвертом положении - ближайшем к двойной связи 3-3а - полностью блокирует перегруппировочный отрыв атома фтора от трифторметильной группы. Заместители 4-нитро, а также 4-фтор, частично блокируют электроноакцепторные свойства трифторметильной группы, затрудняя отрыв атома фтора. В отличие от 4-азидо-3-(трифторметил)бензизоксазола, ионная серия которого со 100% отрывом 'СF<sub>3</sub> представлена на Рис. 5, в спектрах 4-нитро- и 4-фтор производных 3-(трифторметил)бензизоксазола идут конкурирующие фрагментационные отрывы 'СF<sub>3</sub> и CF<sub>2</sub>. Следует отметить, что в спектре трифторметилбензола (NIST#: 118781 ID#: 134414 DB: mainlib) отрыва 'СF<sub>3</sub> нет, а происходят только последовательные выбросы CF<sub>2</sub> и 'F или 'F и CF<sub>2</sub> 50/50%.

#### Ионные серии транс-2-арил-2-трифторметил-1-нитроциклопропанов

*Транс*-2-арил-2-трифторметил-1-нитроциклопропаны впервые получены и описаны в работе [4]. Строение их подтверждено методами ЯМР, ИК-спектроскопии, масс-спектрометрии, рентгеноструктурным и элементным анализом [4].

Поскольку циклопропановое кольцо обладает высокой напряженностью и низкой энергией разрыва связей С-С (54,4 ккал/моль) [5], спектры *транс*-2-арил-2-трифторметил-1-нитроциклопропанов представляют собой примеры многовариантности распада. Особенности диссоциативной ионизации арилциклопропанов определяются сопряжением трехчленного цикла с ароматической системой [6,7], а также заместителями циклопропана и арильной группы. В случае циклопропанов с электроноакцепторными заместителями NO<sub>2</sub> [8] и CF<sub>3</sub> напряженность цикла возрастает. Съемкой спектров производных 2-арил-2-трифторметил-1-нитроциклопропанов, выполненной при температурах ионного источника 250°С и 50°С, подтверждено, что рассматриваемые фрагментационные процессы не связаны с термораспадом анализируемых веществ в ионном источнике.

Фрагментация 2-арил-2-трифторметил-1-нитроциклопропанов, как правило, начинается с отрывов  $HNO_2$  и  $CF_3$  с образованием циклопропенового иона  $Ar^+C_3H_2$ . Другой путь распада включает синхронный отрыв HNO,  $CF_3$  и  $C_2H_2$  с образованием перегруппировочного иона  $Ar^+C=O$ , возникающего в результате миграции атома кислорода  $NO_2$  при отрыве HNO. Еще одним общим процессом, характерным для фрагментации 2-арил-2-трифторметил-1-нитроциклопропанов, является образование пика иона с m/z 115 - катионрадикала трифторнитрометана  $[CF_3NO_2]^+$ . Основные пути распада 2-арил-2-трифторметил-1-нитроциклопропанов представлены на Cxeme 1.

$$- HNO_2 + \cdot CF_3 \longrightarrow - C^{+} H - C_2H_2 \longrightarrow + \cdot C_7H_5$$

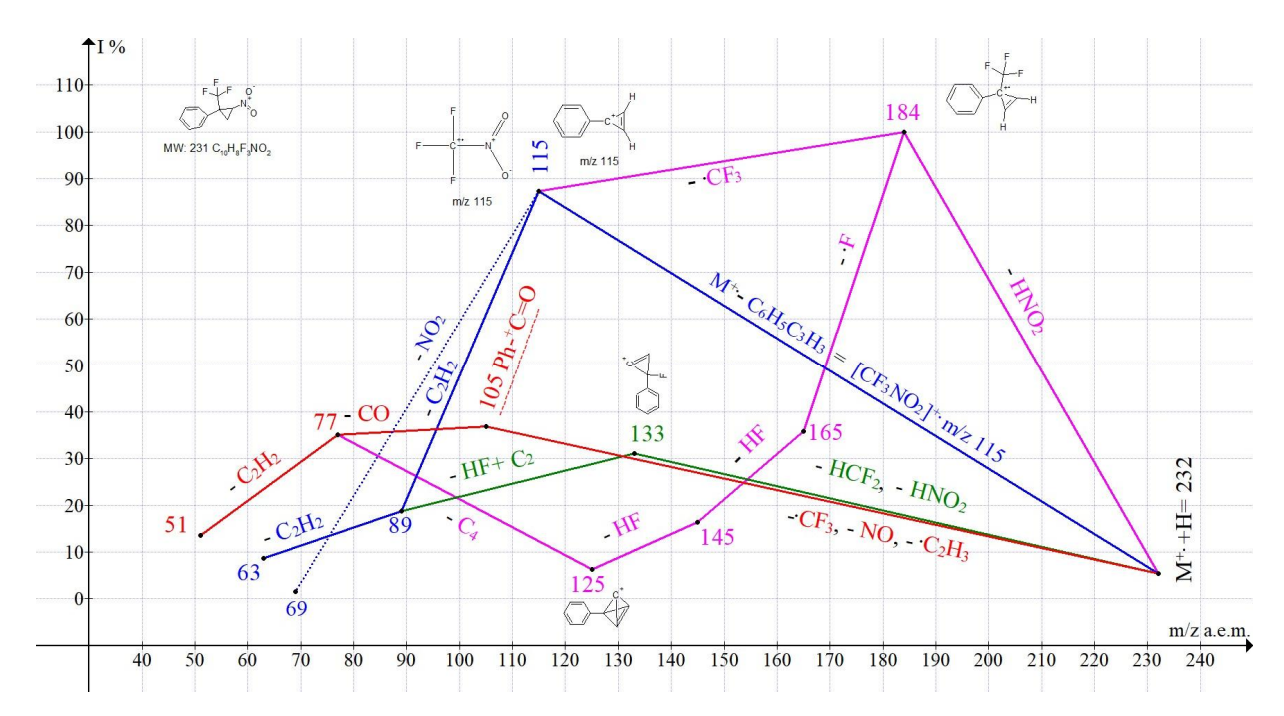
$$- Ph-C_3H_3 \longrightarrow [CF_3NO_2]^{+} \text{ m/z115}$$

$$- HNO_2 + 2HF+F \longrightarrow - C_4 \longrightarrow + C_6H_5$$

$$- HNO + \cdot CF_3 + C_2H_2 \longrightarrow - Ph-^+C=O - CO \longrightarrow + C_6H_5$$

Схема 1. Пути фрагментации 2-арил-2-трифторметил-1-нитроциклопропанов.

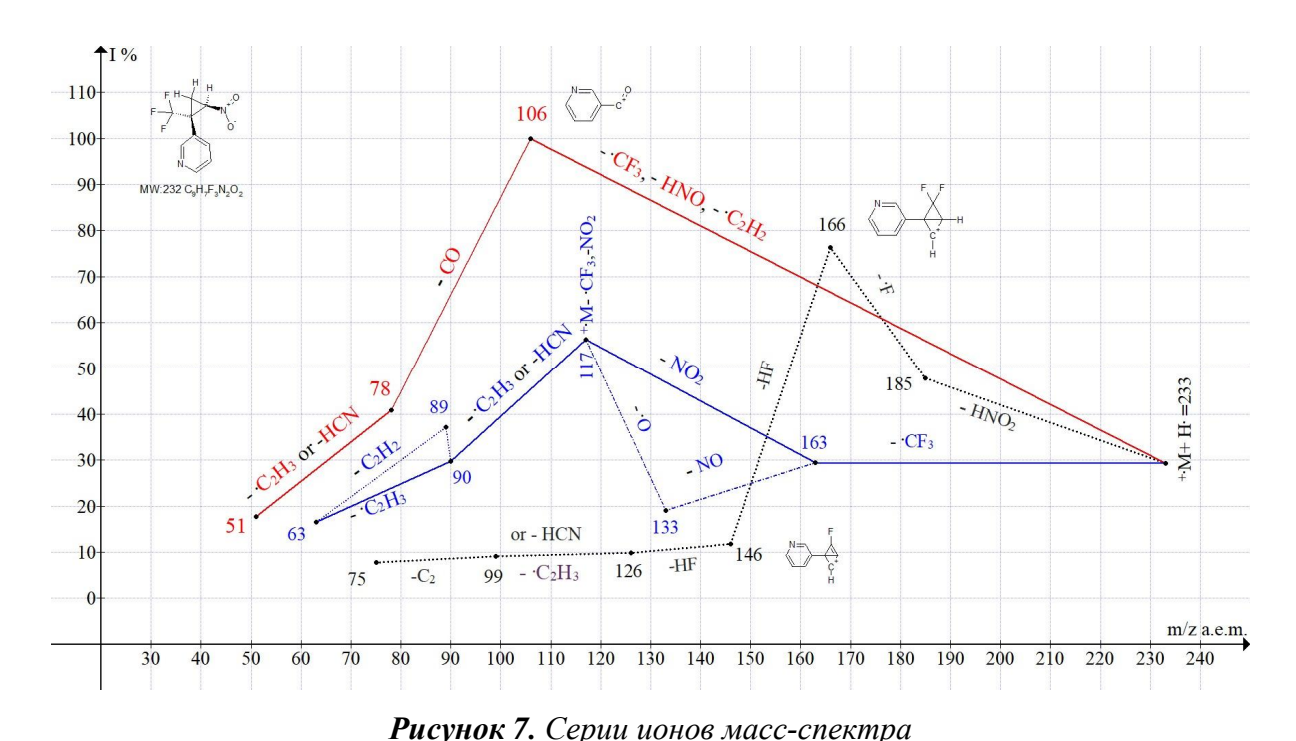
Главные пути фрагментации [2-нитро-1-(трифторметил)циклопропил] бензола представлены на Рис. 6.



**Рисунок 6.** Серии ионов масс-спектра [2-нитро-1-(трифторметил) циклопропил] бензола  $C_{10}H_8F_3NO_2$ , MW:231.

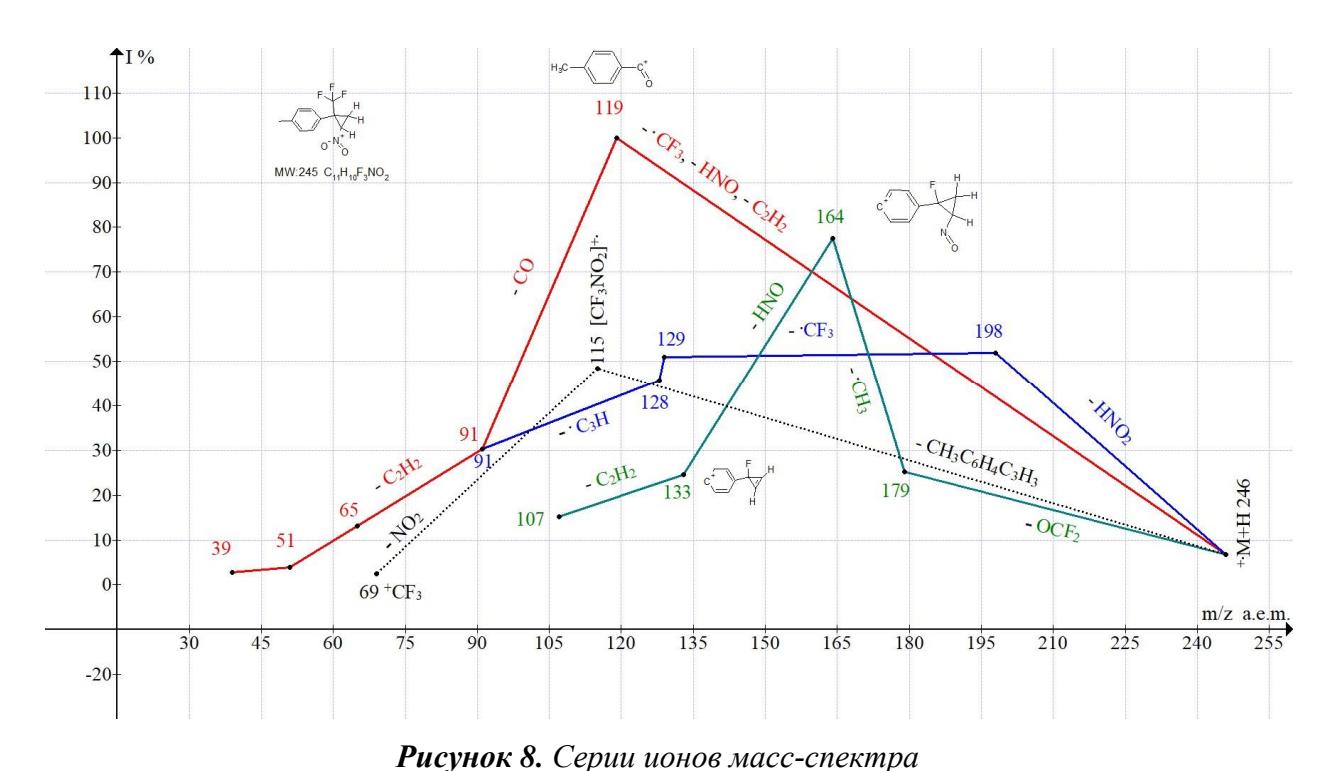
При выбросе  $M^+$ - HNO<sub>2</sub> (Рис. 6) образуется базовый пик иона с m/z 184. Вероятно, что цикл- $C_3$  сохраняется и у иона с m/z 115 после отрыва  $C_3$ . Пик иона с m/z 115 (87,4%) - суммарный пик двух ионов:  $Ph^+C_3H_2$  и  $CF_3^+NO_2$ . Этот факт подтверждает сохранение циклопропенового цикла как в образующимся ионе, так и в отрываемой нейтральной молекуле. Фрагментация иона с m/z 115 (отрыв  $C_2H_2$ ) согласуется со структурой  $Ph^+C_3H_2$ . По сравнению со спектрами других производных 2-арил-2-трифторметил-1-нитроциклопропанов, в спектре [2-нитро-1-(трифторметил)циклопропил]бензола (рис.6) интенсивность пика с m/z 105  $Ph^+C=O$ , образующегося при распаде циклопропана,

минимальна (36,8%). По-видимому, незамещенная фенильная группа по сравнению с замещенными фенильными группами способна максимально стабилизировать циклопропан.



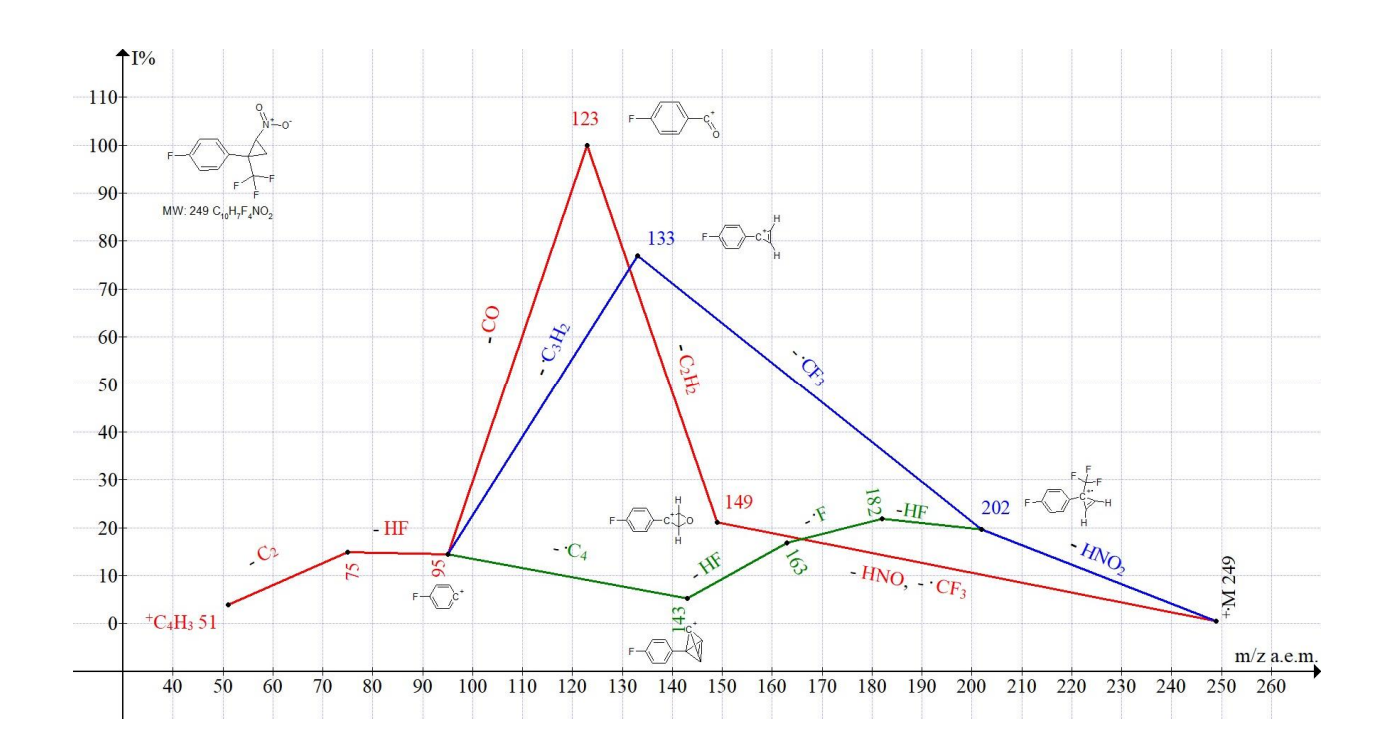
3-[2-нитро-1-(трифторметил)циклопропил]пиридина  $C_9H_7F_3N_2O_2$ , MW:232.

В спектре 3-[2-нитро-1-(трифторметил)циклопропил]пиридина (Рис. 7) отсутствует пик иона  $[CF_3NO_2]^+$  с m/z 115. Вместо него образуется пик циклопропена с m/z 117 (M $^+$ - 115) средней интенсивности 56,3%. Базовый пик спектра  $C_5NH_4^+C=O$  с m/z 106 - результат полного распада циклопропана.



I-метил-4-[2-нитро-1-(трифторметил)циклопропил] бензола  $C_{11}H_{10}F_3NO_2$  MW:245.

В масс-спектре 1-метил-4-[2-нитро-1-(трифторметил)-циклопропил] бензола (Рис. 8) интенсивность пика иона циклопропена с m/z 129 не превышает (51%), тогда как распад цикла приводит к базовому пику с m/z 119 (100%). Интенсивность пика с m/z 115 всего 48%. То есть, по сравнению с [2-нитро-1-(трифторметил)циклопропил]бензолом, метильный заместитель снижает стабилизацию циклопропена и способствует распаду цикла (Рис. 8).



#### Риунок 9. Серии ионов масс-спектра

1-фтор-4-[2-нитро-1-(трифторметил) циклопропил] бензола  $C_{10}$ Н $_7$ F $_4$ NO $_2$ , MW:249.

В спектре 1-фтор-4-[2-нитро-1-(трифторметил)циклопропил]бензола ион с m/z 115 не образуется (Рис. 9). Двумя основными путями фрагментации являются: полный распад цикла с образованием базового иона с m/z 123, а также отрывы  $HNO_2$  и  $CF_3$  (M-116), приводящие к пику циклопропена с m/z 133 (77%) (Рис. 9).

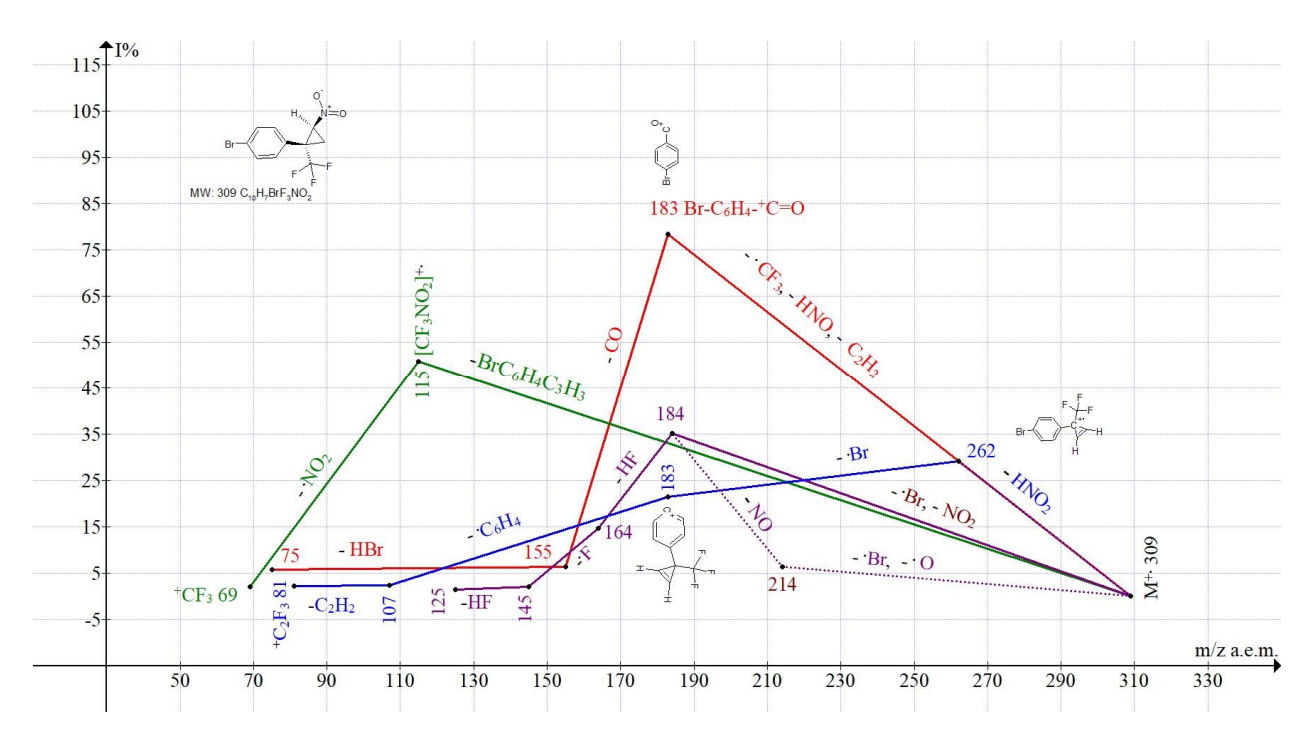


Рисунок 10. Серии ионов масс-спектра

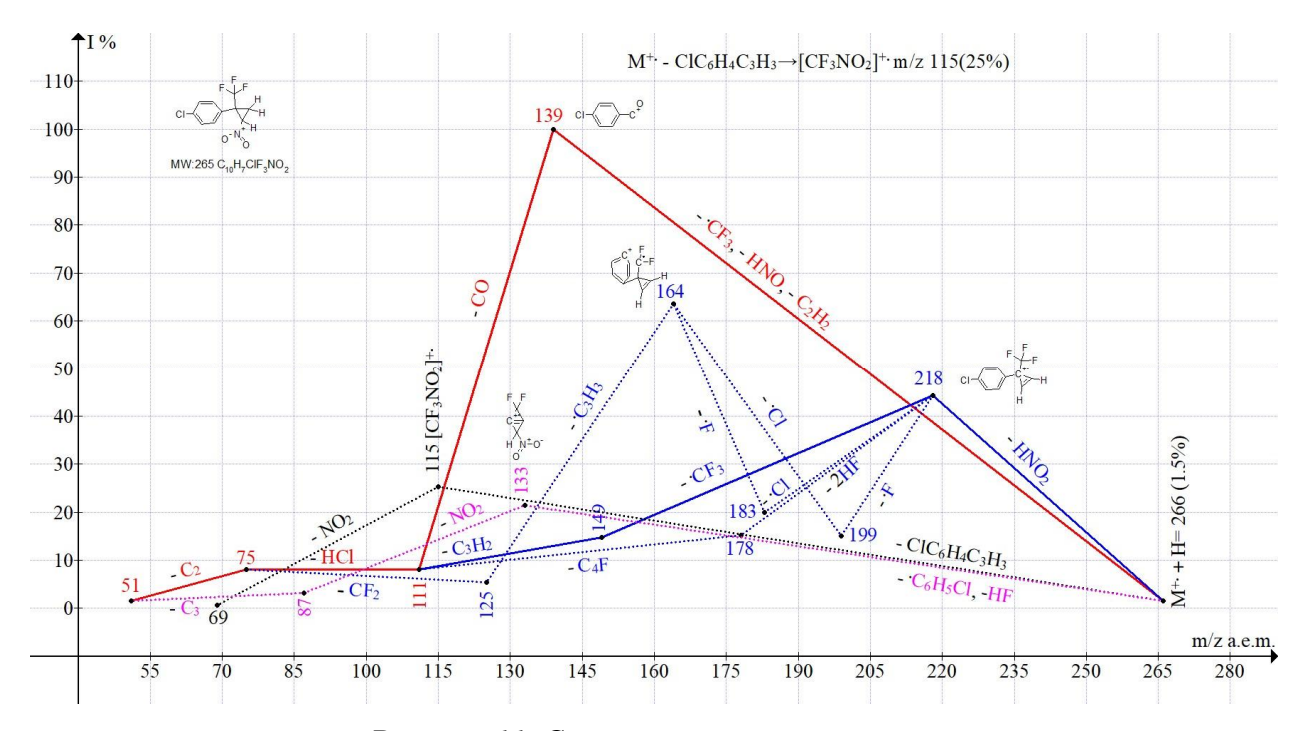
1-бром-4-[2-нитро-1-(трифторметил) циклопропил]-бензола  $C_{10}H_7BrF_3NO_2$ , MW:309.

В масс-спектре 1-бром-4-[2-нитро-1-(трифторметил-циклопропил]бензола (Рис. 10) по сравнению со спектром [2-нитро-1-(трифторметил)циклопропил]бензола (Рис. 6) интенсивность пика  $[CF_3NO_2]^+$  с m/z 115, соответствующая сохранению циклопропана в отрываемой нейтральной молекуле, снижается с 87% до 51%, а отрыва M-116 (HNO<sub>2</sub>+  $CF_3$ )=193 не происходит. В соответствии с интенсивностями пиков изотопных ионов 79 и 81, пик с m/z 183 (рис.10.) принадлежит двум ионам: на 78,4% иону  $BrC_6H_4$ -C=O и на 21,6% иону  $C_6H_4$ -C=O и на 21,6% иону  $C_6H_4$ - $C_6H_4$ - $C_7$ 0. Интенсивность пика с  $C_7$ 2 262  $C_7$ 1.

По сравнению со спектром [2-нитро-1-(трифторметил) циклопропил] бензола (Рис. 6) замещение бромом фенильной группы не способствует стабилизации циклопропана. В масс-спектре (Рис. 10) появляются пики, подтверждающие отрывы атома брома.

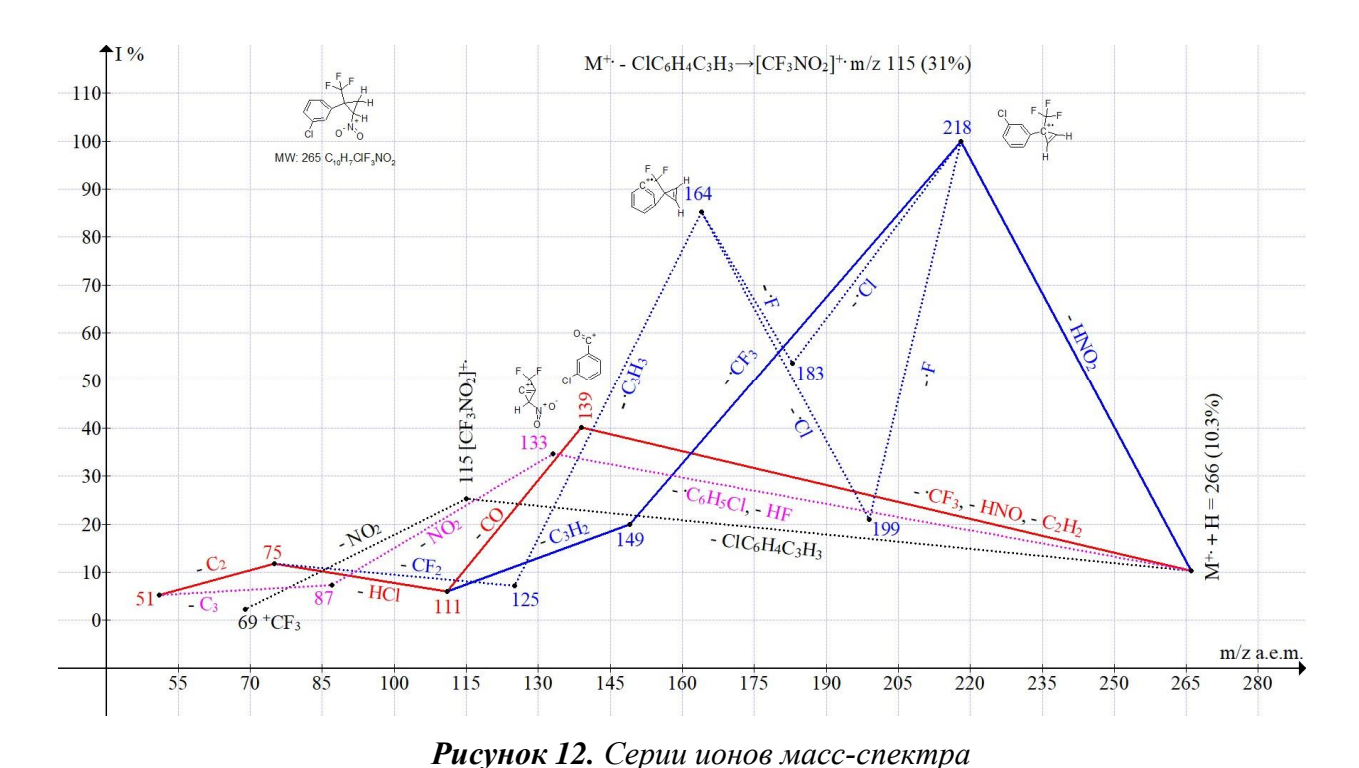
# Влияние *пара*- и *мета*-заместителей Cl, NO<sub>2</sub> и CF<sub>3</sub> фенильной группы на фрагментацию 2-арил-2-трифторметил-1-нитроциклопропанов

Сравнение ионных серий в масс-спектрах изомеров с *пара*- и *мета*-заместителями (Cl, NO<sub>2</sub> и CF<sub>3</sub>) фенильной группы подтверждает влияние положения заместителя на пути фрагментации и интенсивности пиков, соответствующих распаду или промежуточному сохранению цикла. Так, в спектре циклопропана с *пара*-хлорфенильной группой главным путем фрагментации является его распад с образованием базового иона с m/z 139 Cl-C<sub>6</sub>H<sub>4</sub>- <sup>+</sup>C=O (Рис. 11). В спектре циклопропана с *мета*-хлорфенильной группой интенсивность пика с m/z 139 снижалась до 40%, а базовым пиком становился пик циклопропена с m/z 218 (Рис. 12). Выброс молекулы циклопропена с образованием иона трифторнитрометана m/z 115 в изомерах с *пара*-хлор (25%) и *мета*-хлорфенильной группой (31%) происходил с близкими интенсивностями.



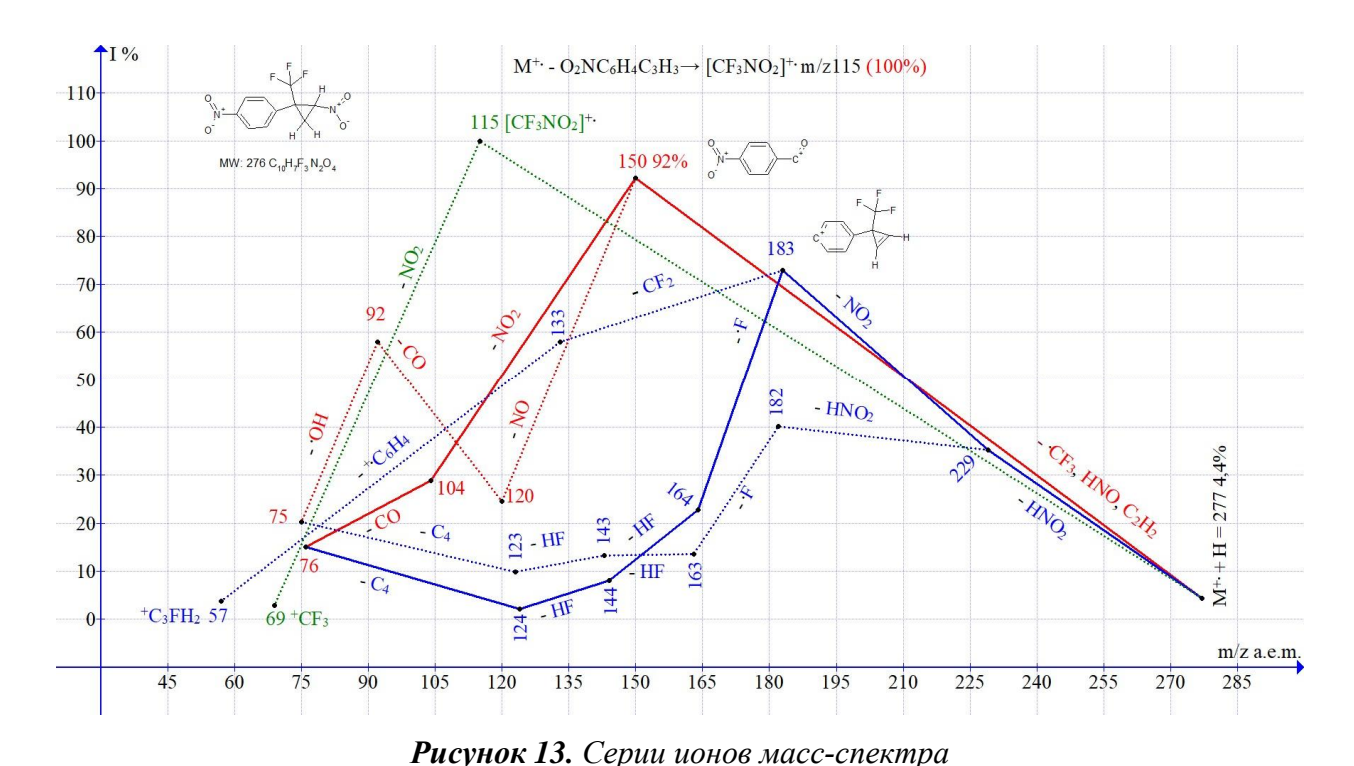
**Рисунок 11.** Серии ионов масс-спектра

1-хлор-4-[2-нитро-1-(трифторметил) циклопропил] бензола  $C_{10}$ H<sub>7</sub>ClF<sub>3</sub>NO<sub>2</sub>, MW:265.

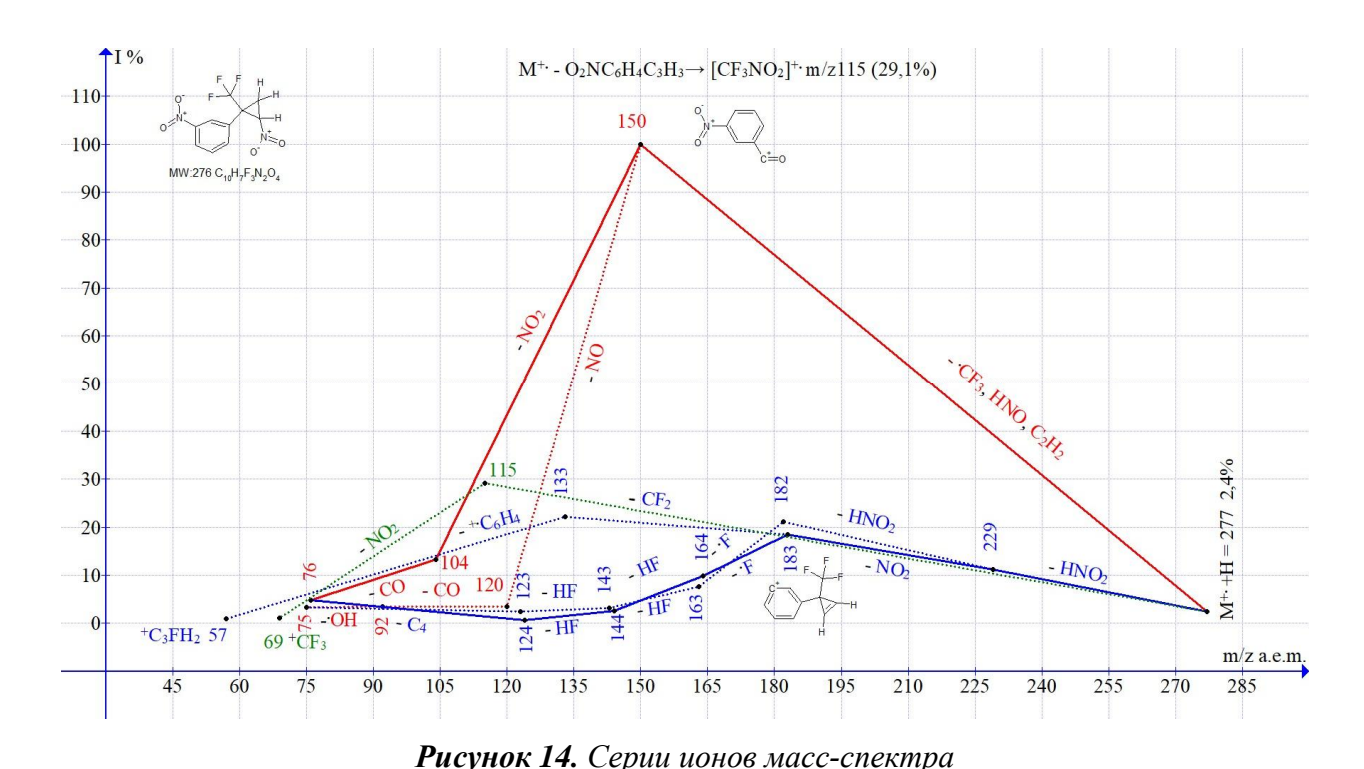


1-хлор-3-[2-нитро-1-(трифторметил)циклопропил] бензола  $C_{12}H_7ClF_3NO_2$ , MW: 265.

В условиях фрагментации изомер с *мета*-хлорфенильной группой (Рис. 11) демонстрирует большую способность для сохранения цикла, чем изомер с *пара*-хлорфенильной группой (Рис. 12).

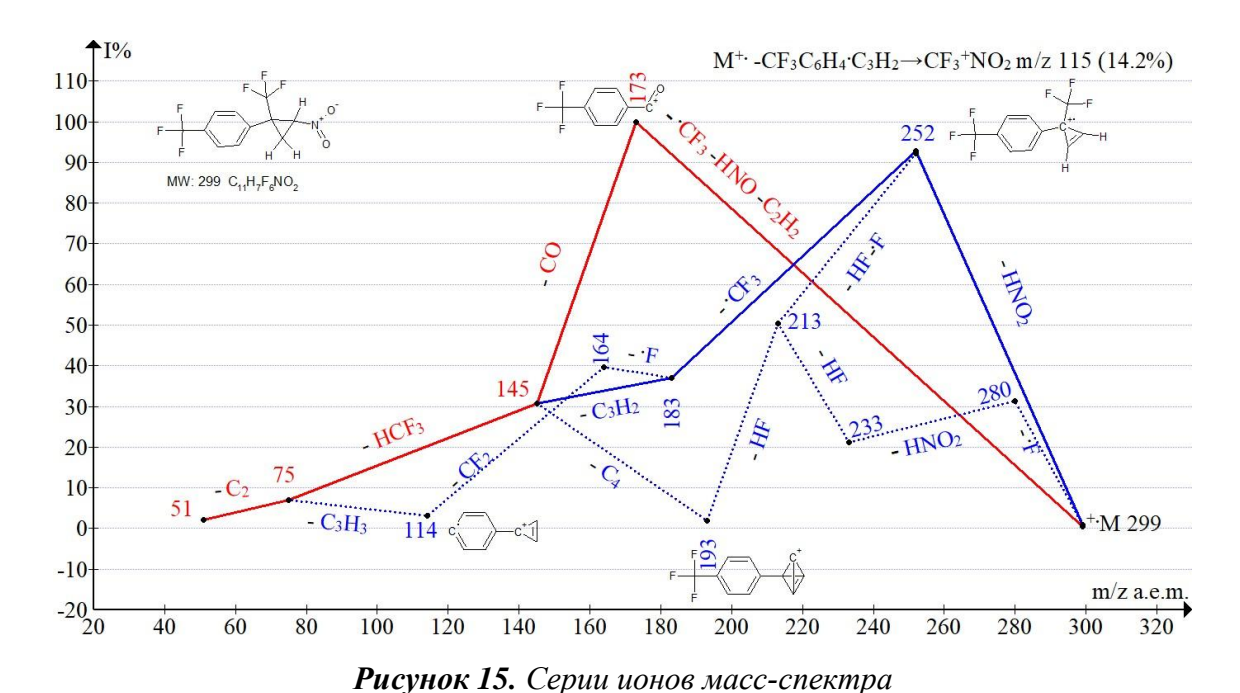


1-нитро-4-[2-нитро-1-(трифторметил)циклопропил] бензола  $C_{10}$ H<sub>7</sub>F<sub>3</sub>N<sub>2</sub>O<sub>4</sub> MW: 276.

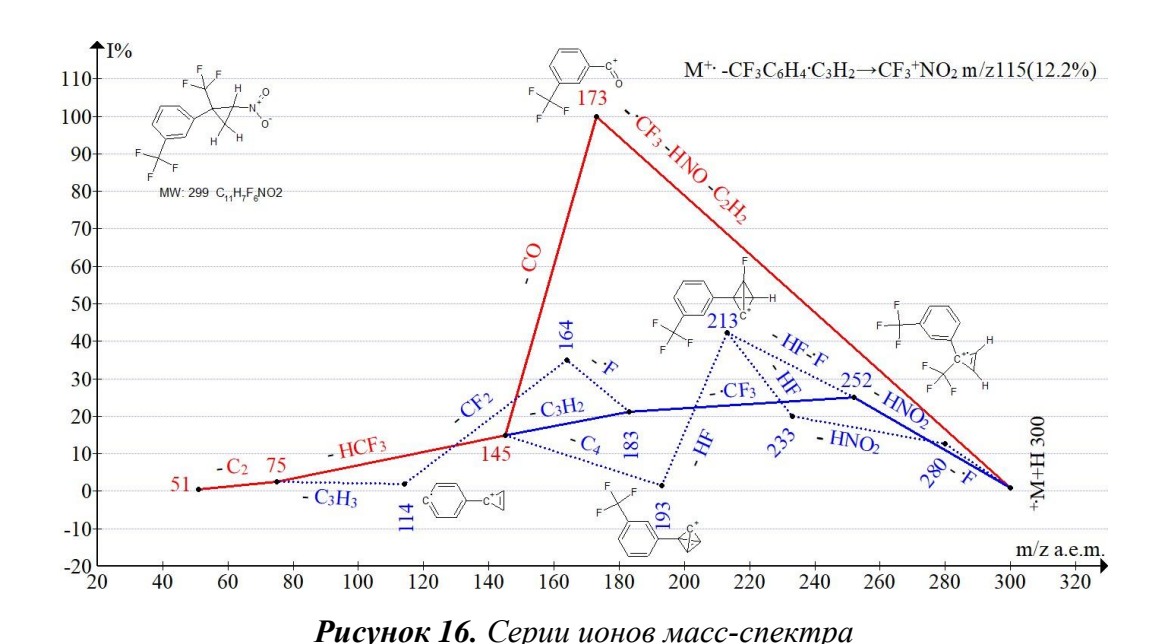


1-нитро-3-[2-нитро-1-(трифторметил)циклопропил] бензола  $C_{10}H_7F_3N_2O_4$  MW: 276.

В масс-спектрах изомерных циклопропанов с пара- и мета-нитрозамещенными фенильными группами (Рис. 13-14) интенсивности пика иона с m/z 150, образующегося в результате полного распада циклопропана, близкие (92 и 100%). Интенсивность пика, соответствующего выбросу молекулы циклопропена образованием иона трифторнитрометана m/z 115 составляет 100% для изомера с *пара*-нитрофенильной группой (Рис. 13) и 29% для изомера с мета-нитрофенильной группой (Рис. 14). Различие фрагментации изомеров проявляется также и в эффективности двойного отрыва HNO2. После отрыва HNO<sub>2</sub> происходит не отрыв 'CF<sub>3</sub>, как во всех спектрах нитроциклопропанов, не содержащих второй нитрогруппы, а повторный выброс HNO<sub>2</sub> или NO<sub>2</sub>. Отрывы HNO<sub>2</sub> и NO<sub>2</sub> с сохранением циклопропенового цикла и образованием иона с m/z 183 происходят более эффективно (73%) в спектре с пара-нитрофенильной группой и менее эффективно (18%) в спектре с мета-нитрофенильной группой. В условия фрагментации изомер с пара-NO2 группой демонстрирует большую способность в сохранении цикла, чем изомер с мета-NO<sub>2</sub> группой.



I-трифторметил-4-[2-нитро-1-(трифторметил) циклопропил]бензола  $C_{11}$ H7 $F_6$ NO $_2$  MW:299.



1-трифторметил-3-[2-нитро-1-(трифторметил) циклопропил]бензола  $C_{11}H_7F_6NO_2MW$ :299.

В спектрах изомеров с *пара*- и *мета*-трифторметилфенильными группами (Рис. 15-16) интенсивности пика иона трифторнитрометана с m/z 115 равны (14% и 12%). Интенсивности пика иона с m/z 173, соответствующего полному распаду циклопропана, у изомеров одинаковые (100%). Различие фрагментации проявляется только в эффективности отрыва HNO<sub>2</sub> группы. Отрыв HNO<sub>2</sub> с промежуточным сохранением циклопропенового цикла и образованием иона с m/z 252 более эффективно (93%) происходит в спектре изомера с *пара*-СF<sub>3</sub> группой и менее эффективно 25% в спектре с *мета*-СF<sub>3</sub> группой.

#### Заключение

На примерах масс-спектров соединений, не содержащих регулярных фрагментных групп, показана возможность определения их ионных серий, соответствующих вариантам и последовательностям конкурирующих фрагментационных процессов. Определение серий спектров включало рассмотрение общих путей фрагментации, характерных для данного класса соединений, а также всех вариантов отрыва первичных радикалов и согласование их между собой. В спектрах содержащих изотопные атомы СІ и Вг составы фрагментных и базовых ионов серий подтверждались соответствующими пиками изотопных ионов. Ионные серии в масс-спектрах позволяют определить основные и второстепенные конкурентные пути фрагментации, а также их зависимость от заместителей.

#### Благодарности

Работа выполнена при поддержке Министерства науки и высшего образования Российской Федерации с использованием научного оборудования Центра исследования строения молекул ИНЭОС РАН.

#### Список литературы

- 1. Каграманов Н.Д., Серии фрагментных ионов циклоалканов, перфторциклогексана, перфторполициклоалканов, Fluorine notes, **2021**, 3(136), 3-4.
- 2. Сиган А.Л., Голубев А.С., Беляева Е.В., Горфинкель С.М., Каграманов Н.Д., Спиридонов Ю.Я., Чкаников Н.Д., Синтез этил-5-арил-5-трифторметил-4,5-дигидроизоксазол-3- карбоксилатов, обладающих свойствами регуляторов роста растений, Изв. АН, **2019**, 1, 99-103.
- 3. Golubev A.S., Shidlovskii A.F., Peregudov A.S., Kagramanov N.D., Synthesis of 3-fluoromethyl-2,1-benzisoxazoles, Russ. Chem. Bull., **2014**, 63(10), 2264-2270.
- 4. Патент России 2699654 (**2019**), Е-2-арил-2-трифторметил -1-нитроциклопропаны и способ их получения, Голубев А.С., Горфинкель С.М., Маркова А.А., Супоницкий К.Ю., Перегудов А.С., Стрелкова Т.В., Остапчук П. Н., Каграманов Н.Д., Чкаников Н.Д.
- 5. Ferguson L.N., Ring strain and reactivity of alicycles, J. Chem. Educ., 1970, 47, 46-53.
- 6. Чочуа К.А., Чижов О.С., Шабаров Ю.С., Казбулатова Н.А., Масс-спектрометрическое исследование производных циклопропана. І. Углеводороды ряда фенилциклопропана и родственные им соединения, ЖОрХ, **1971**, 7, 2024-2028.

- 7. Заикин В.Г., Микая А.И., Вдовин В.М., Масс-спектрометрия малых циклов. М., Наука, **1983**.
- 8. Аверина Е.Б., Яшин Н.В., Кузнецова Т.С., Зефиров Н.С., Успехи химии, **2009**, 78(10), 963-979.